

FIG. 4

TABLE 20: SEZ4T660

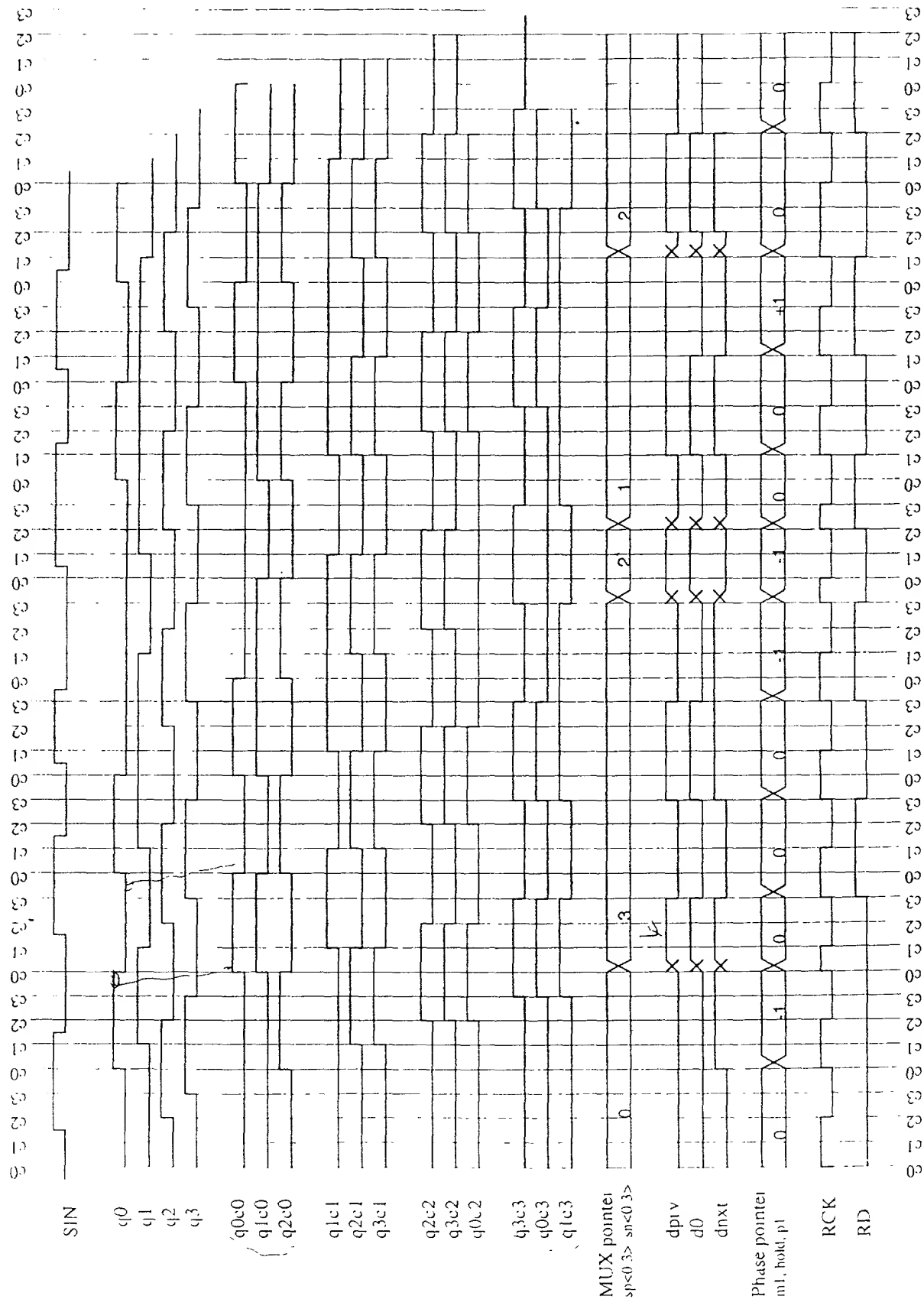
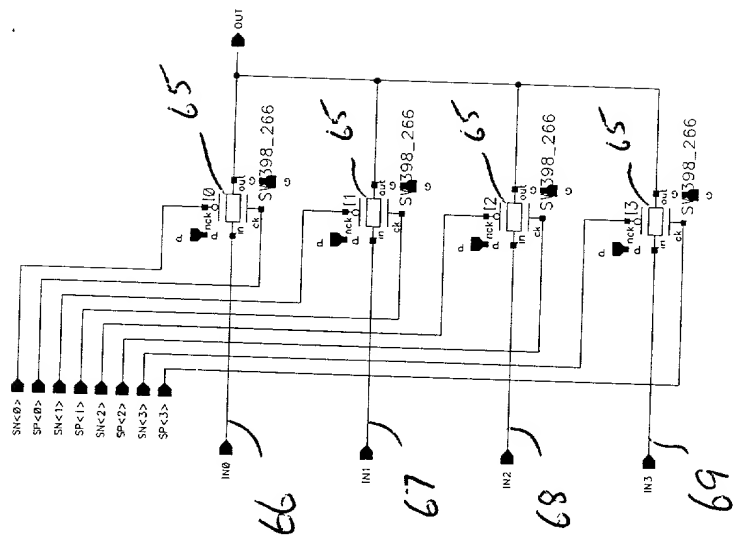


FIG. 7



30

Wave	Symbol
D0:A0.v(rck)	X
D0:A0.v(rd)	○

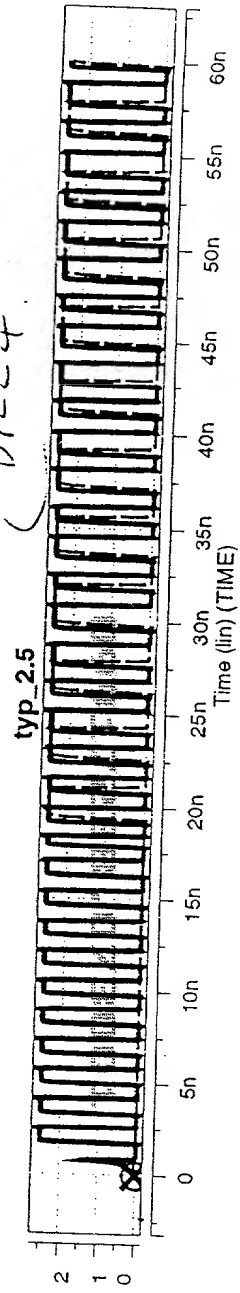


Fig. 10a

Wave	Symbol
D0:A0.v(sp<0>)	X
D0:A0.v(sp<1>)	○
D0:A0.v(sp<2>)	△
D0:A0.v(sp<3>)	□

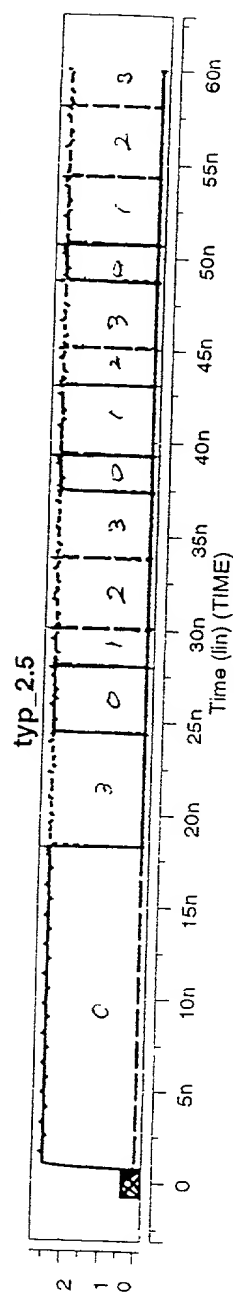


Fig. 10b

Wave	Symbol
D0:A0.v(m1c0)	X
D0:A0.v(holdc0)	○
D0:A0.v(p1c0)	△

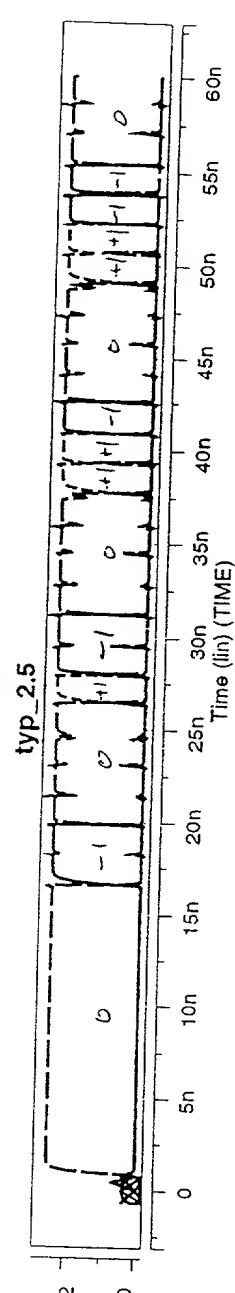


Fig. 10c

Wave	Symbol
D0:A0.v(m1c1)	X
D0:A0.v(holdc1)	○
D0:A0.v(p1c1)	△

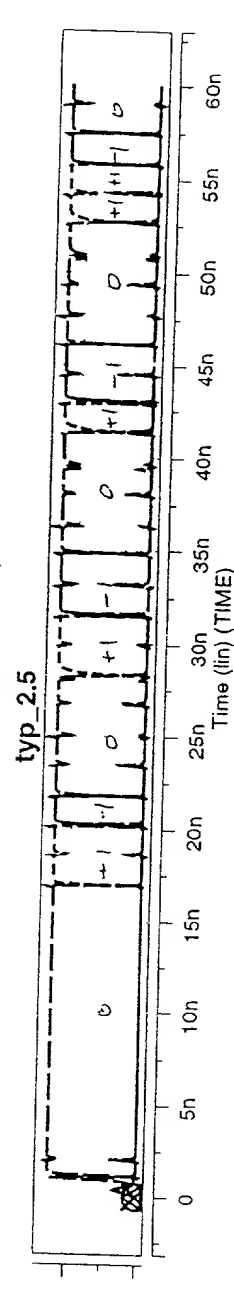


Fig. 10d

Wave	Symbol
D0:A0.v(m1c2)	X
D0:A0.v(holdc2)	○
D0:A0.v(p1c2)	△

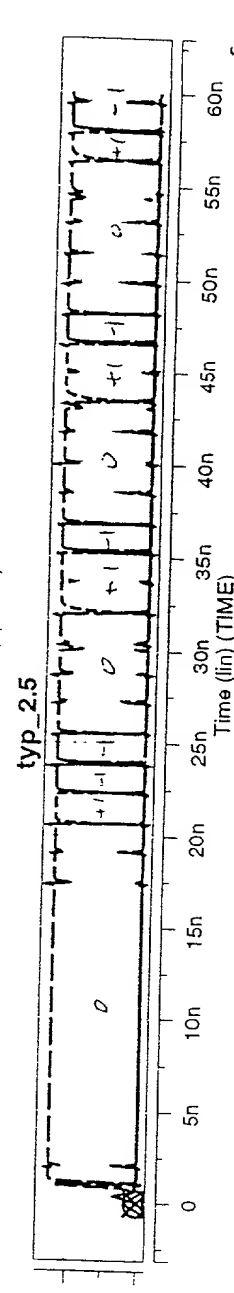


Fig. 10e

Wave	Symbol
D0:A0.v(m1c3)	X
D0:A0.v(holdc3)	○
D0:A0.v(p1c3)	△

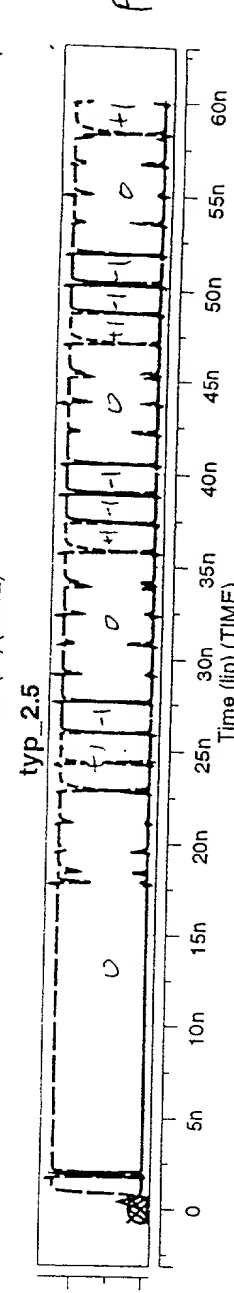
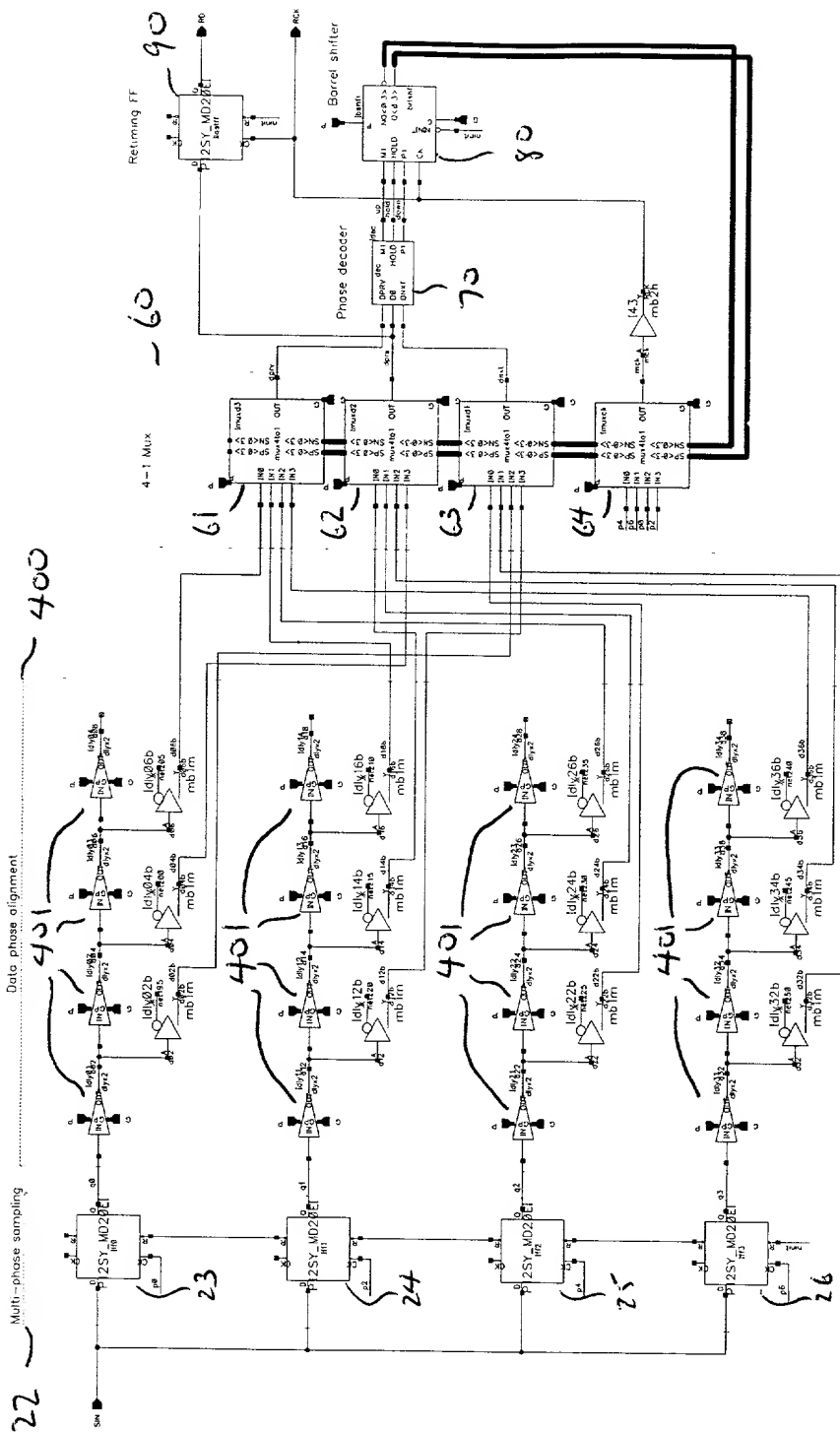
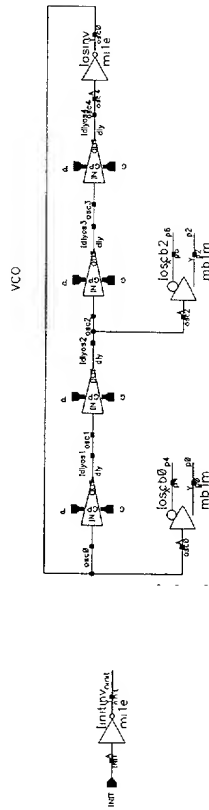


Fig. 10f

DATA F16.2K660



~30



Wave	Symbol
D0:A0:v(sp<0>)	○
D0:A0:v(sp<1>)	△
D0:A0:v(sp<2>)	□
D0:A0:v(sp<3>)	⊗

Wave	Symbol
D0:A0:v(up)	△
D0:A0:v(down)	□
D0:A0:v(hold)	⊗

Wave	Symbol
D0 A0 v(p0)	△
D0 A0 v(p2)	△
D0 A0 v(p4)	△
D0 A0 v(p6)	△
D0 A0 v(sn)	△

Wave	Symbol
D0:A0:v(rck)	○
D0 A0 v(rd)	○

typ_2.5

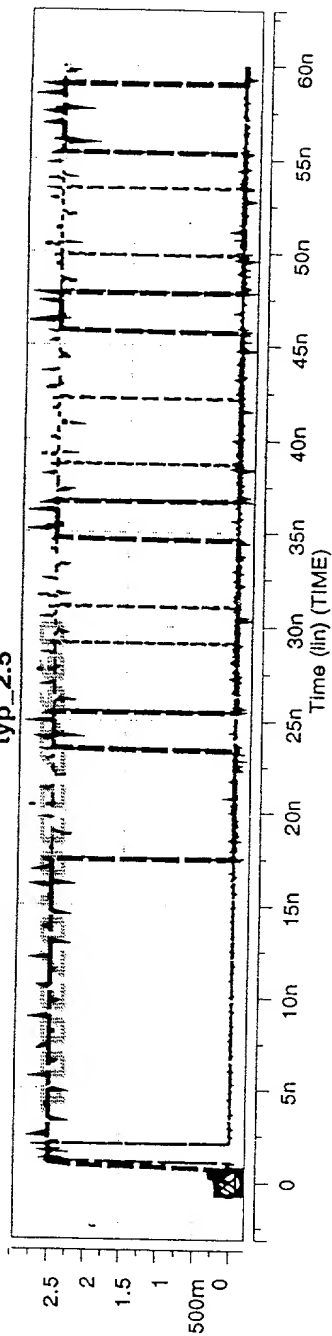


FIG. 12a

typ_2.5

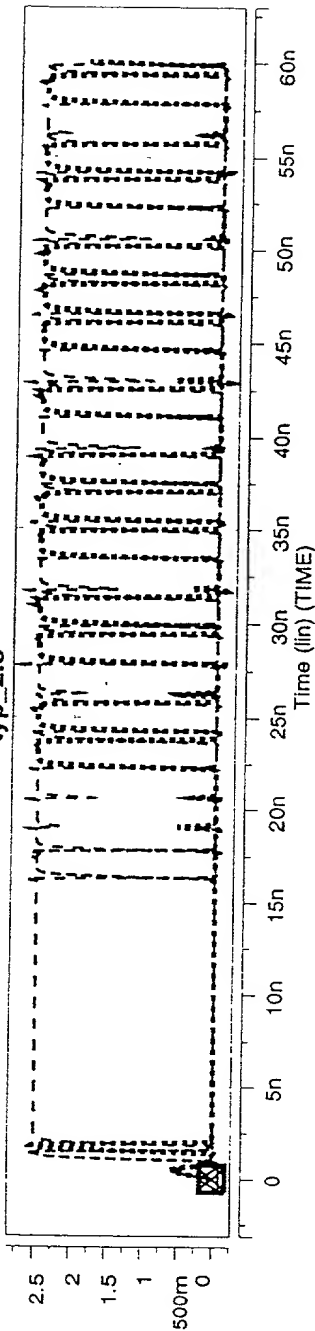


FIG. 12b

typ_2.5

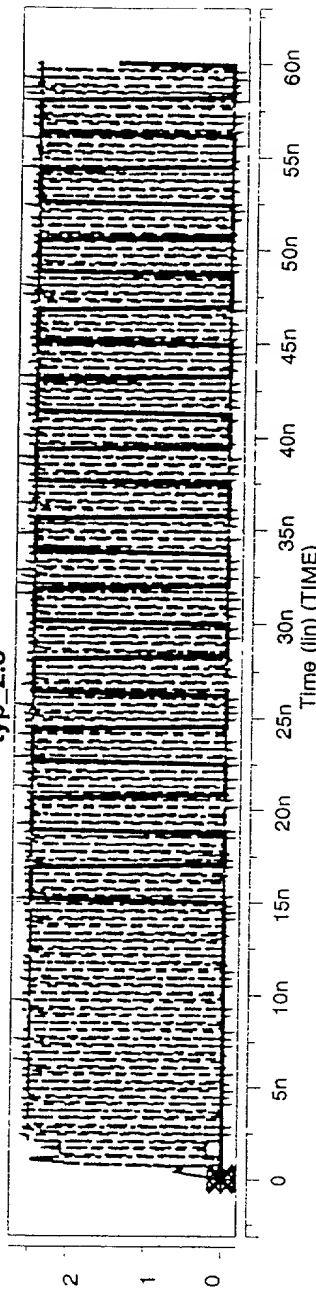


FIG. 12c

typ_2.5

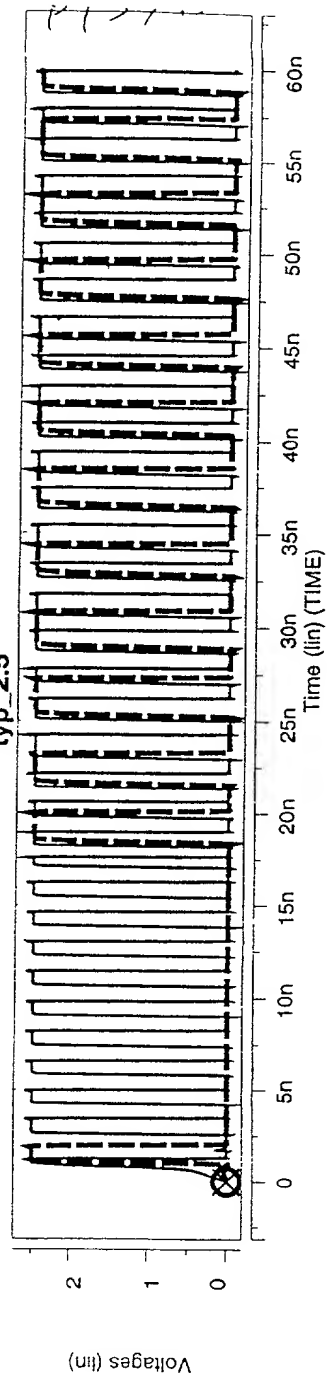
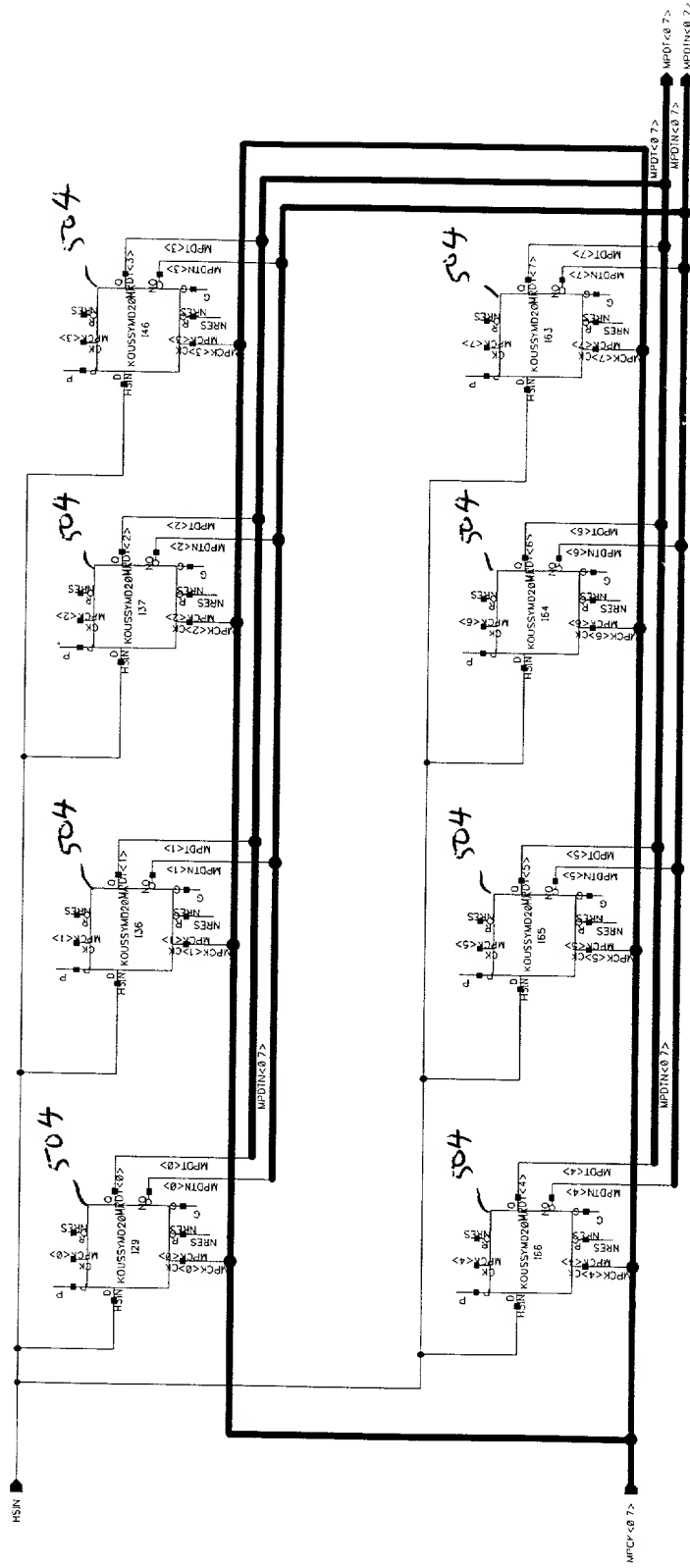


FIG. 12d

F16 13

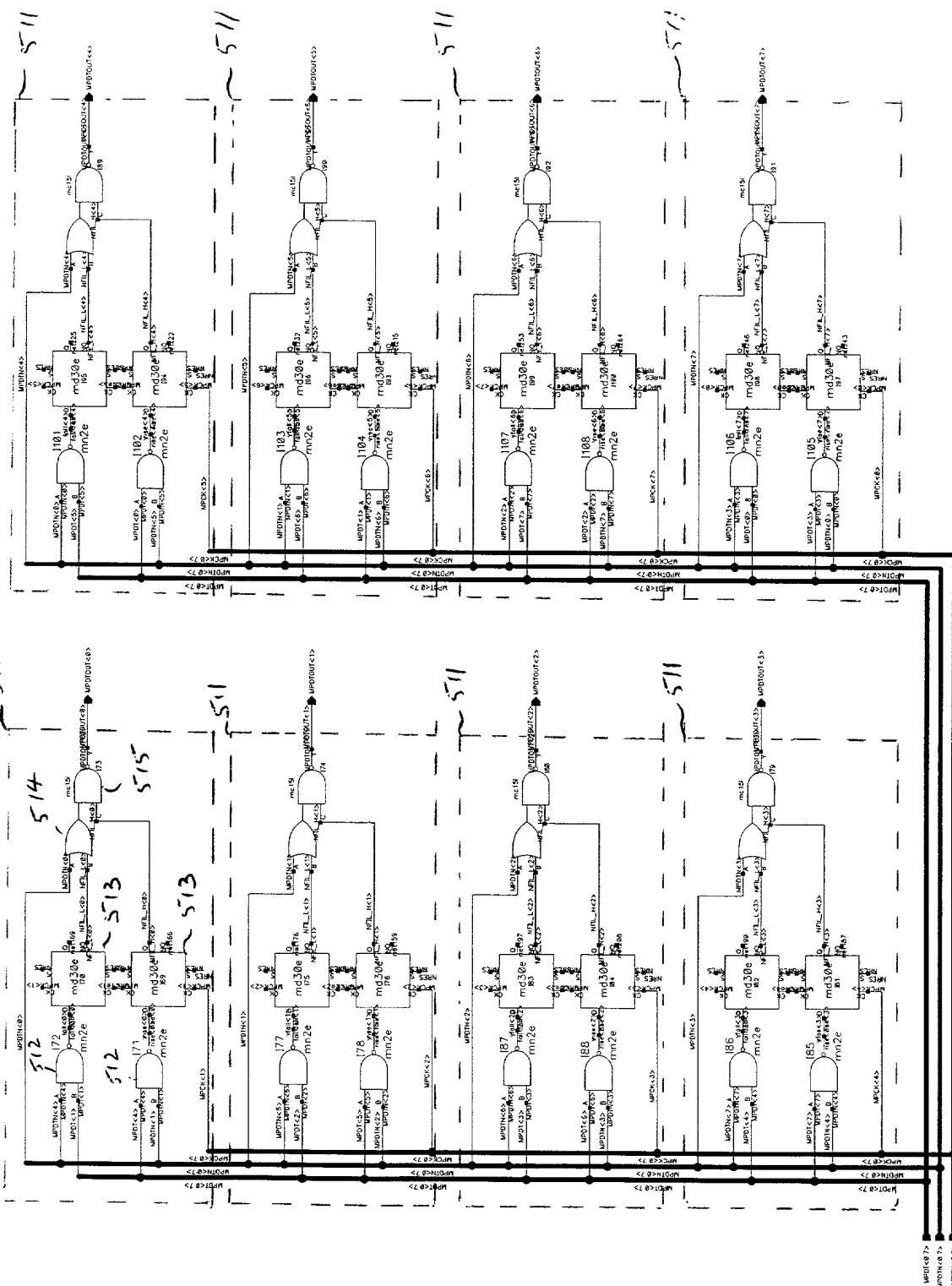


F16.14



NRES
P
G

F-75



530M

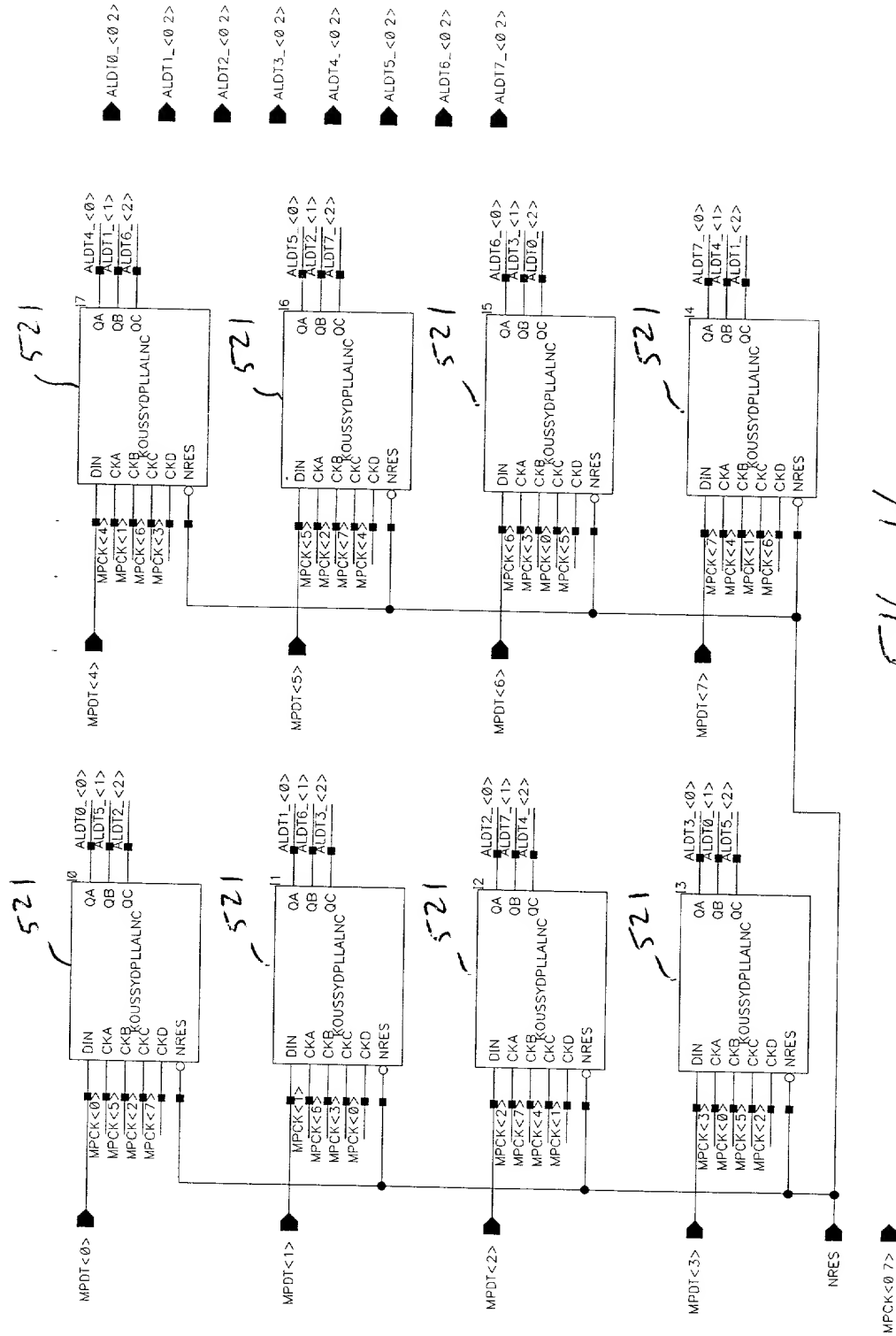
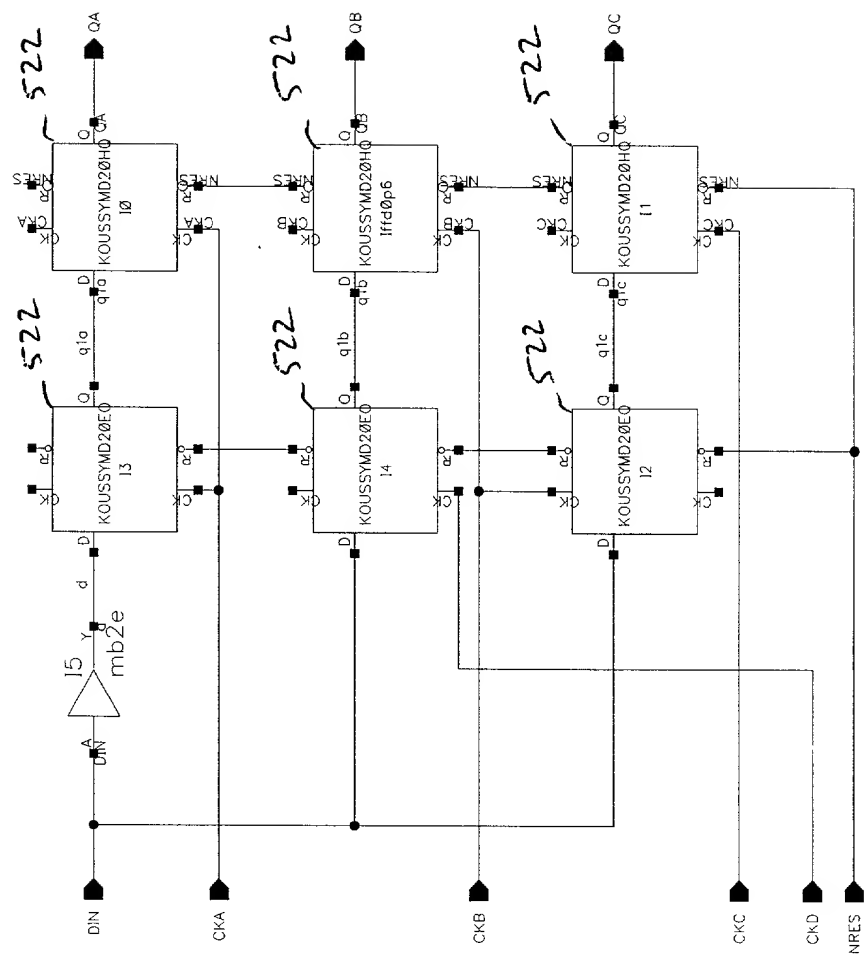


FIG. 16

Figure 16.17



F16.17

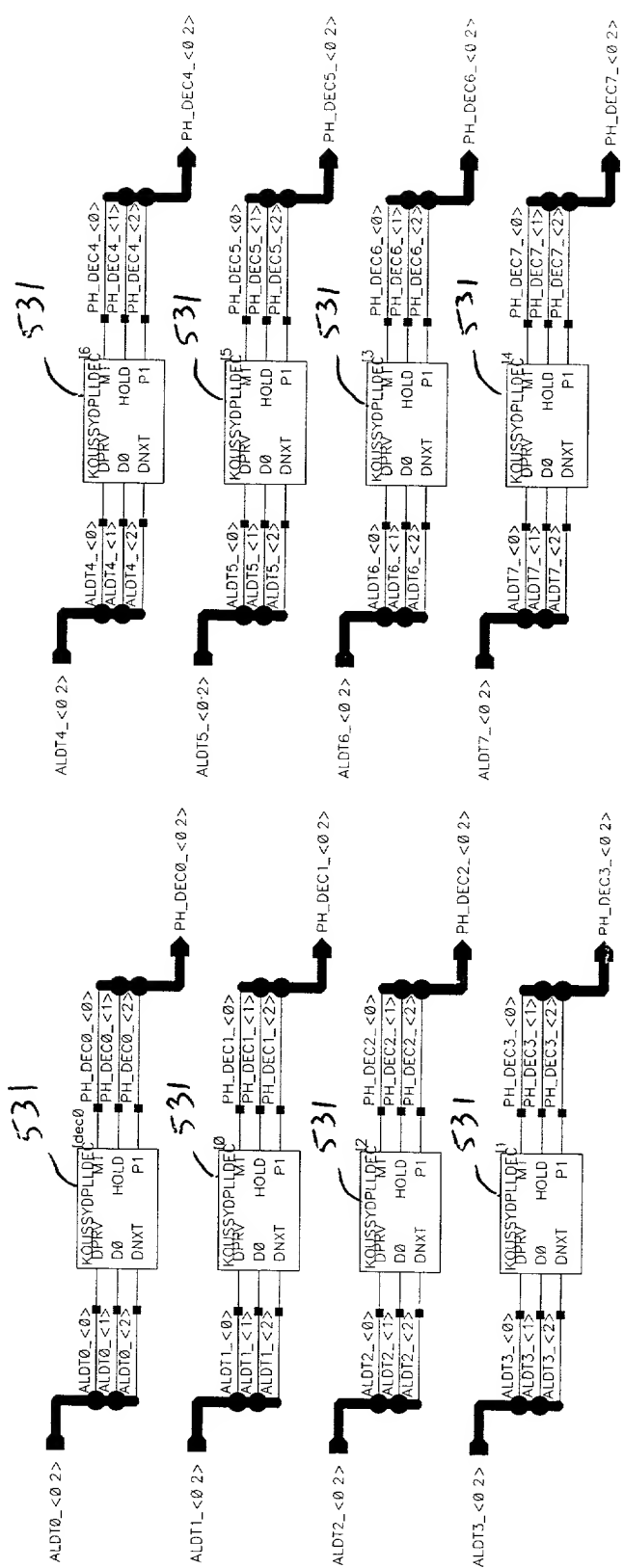
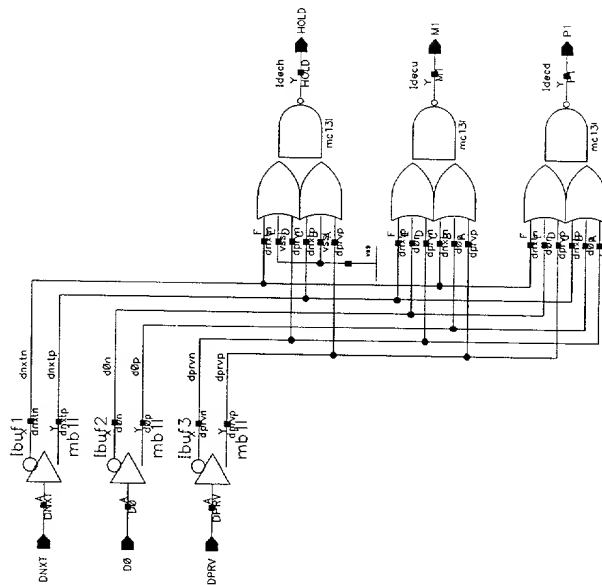


FIG. 18

FIG. 19

FIG. 20



DPRV	D0	DNXT	M1	HOLD	P1
H	H	L	H	L	L
L	H	H	L	L	L
L	L	L	L	H	L
L	L	L	L	L	H
L	H	L	L	L	H

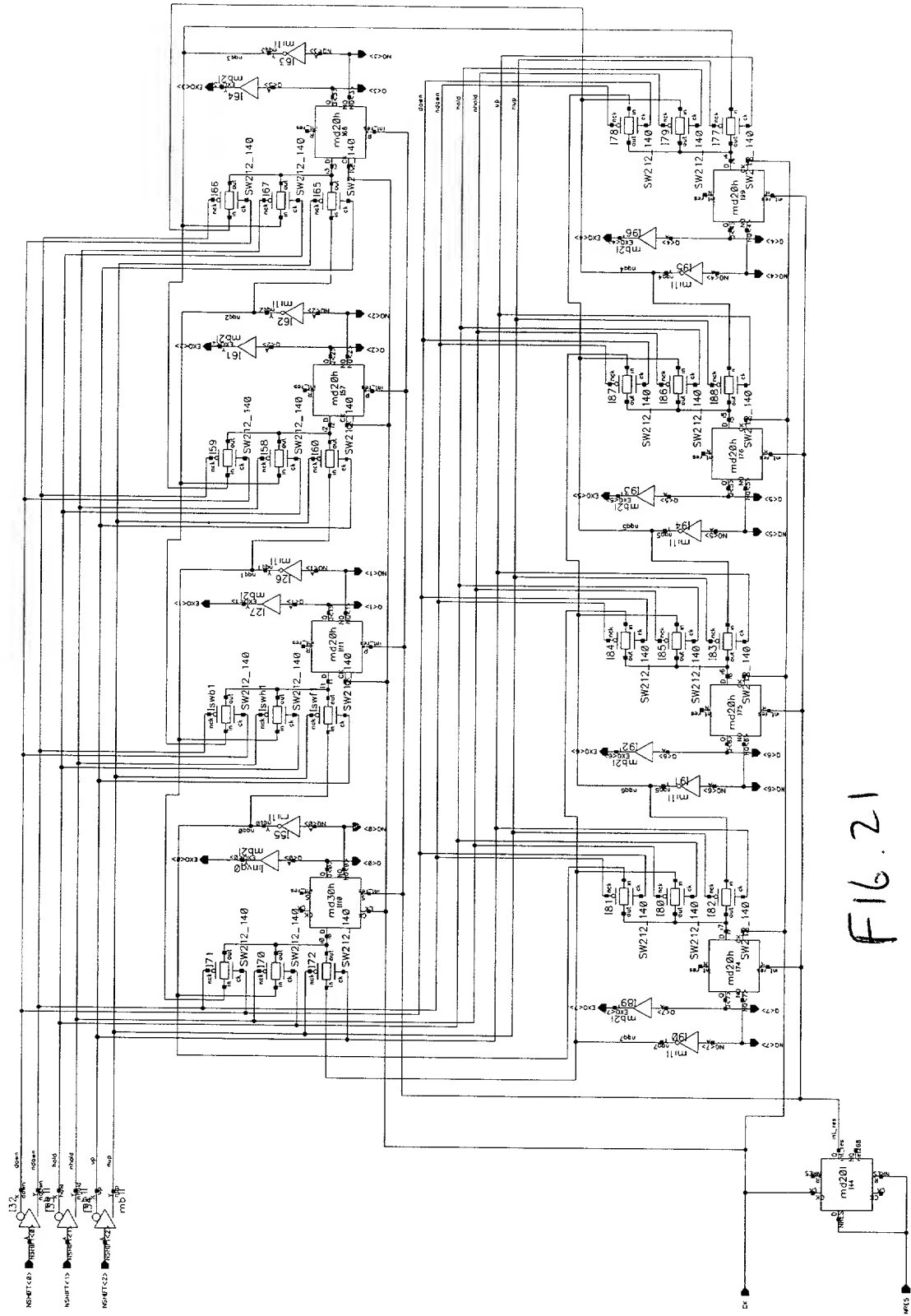


FIG. 21

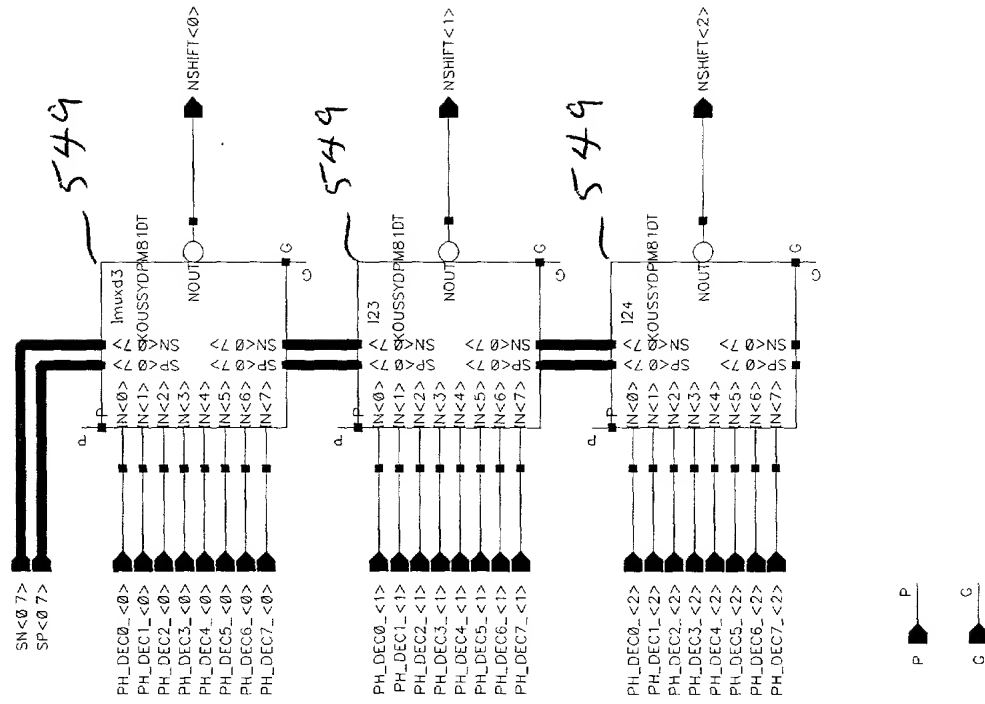
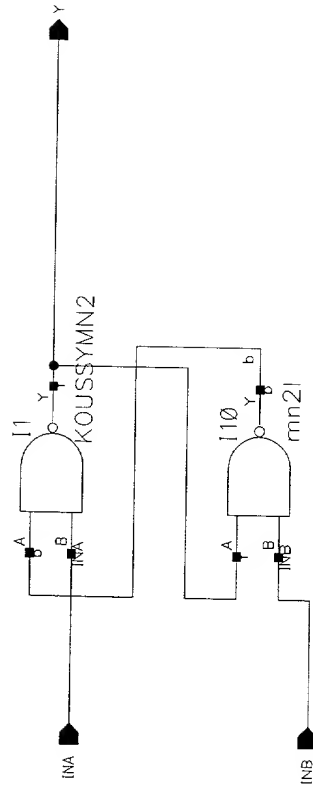


FIG. 22



Flg. 23

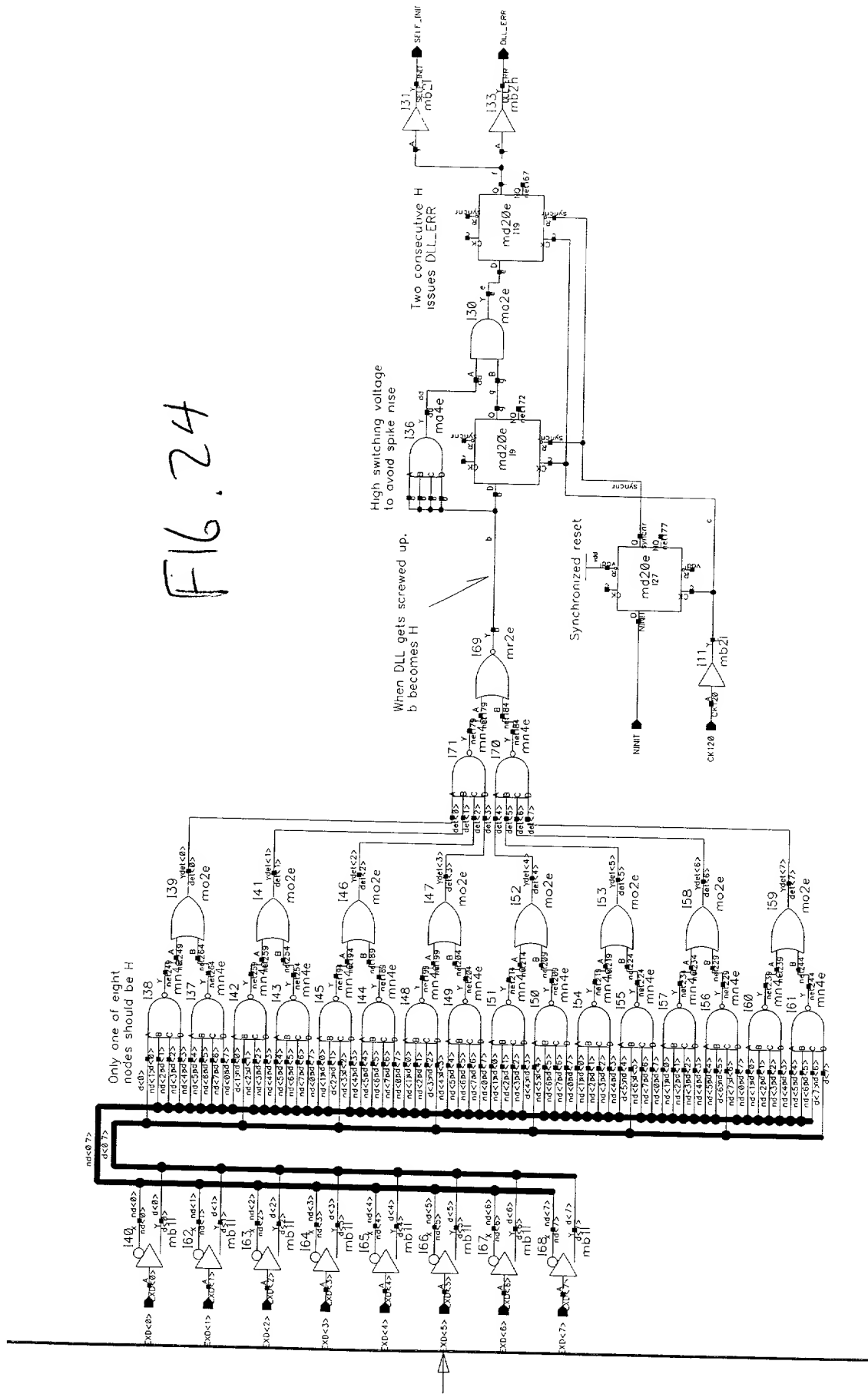


FIG. 24

FOOTED REEFS
FLG 25a

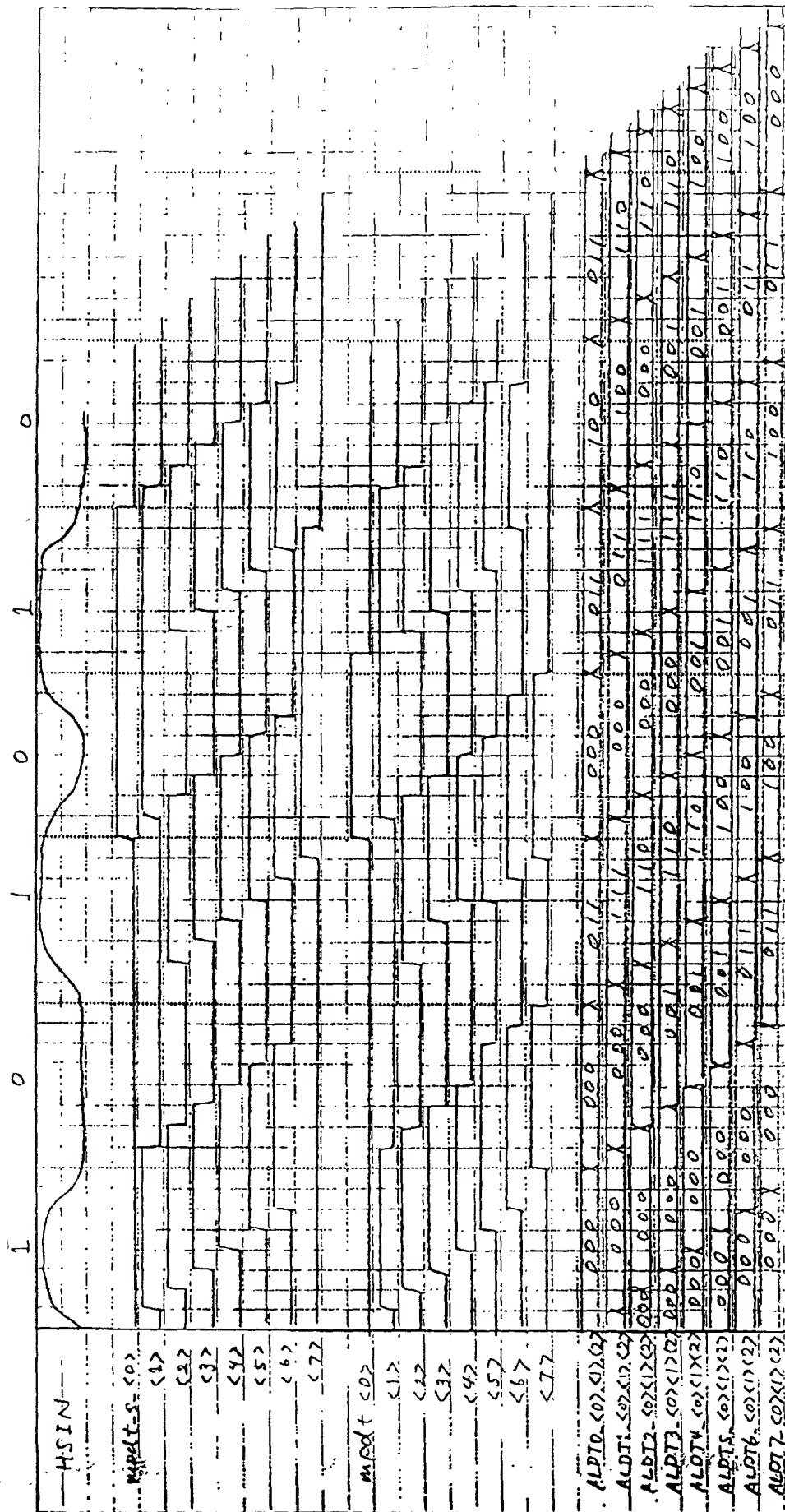


Fig. 25b

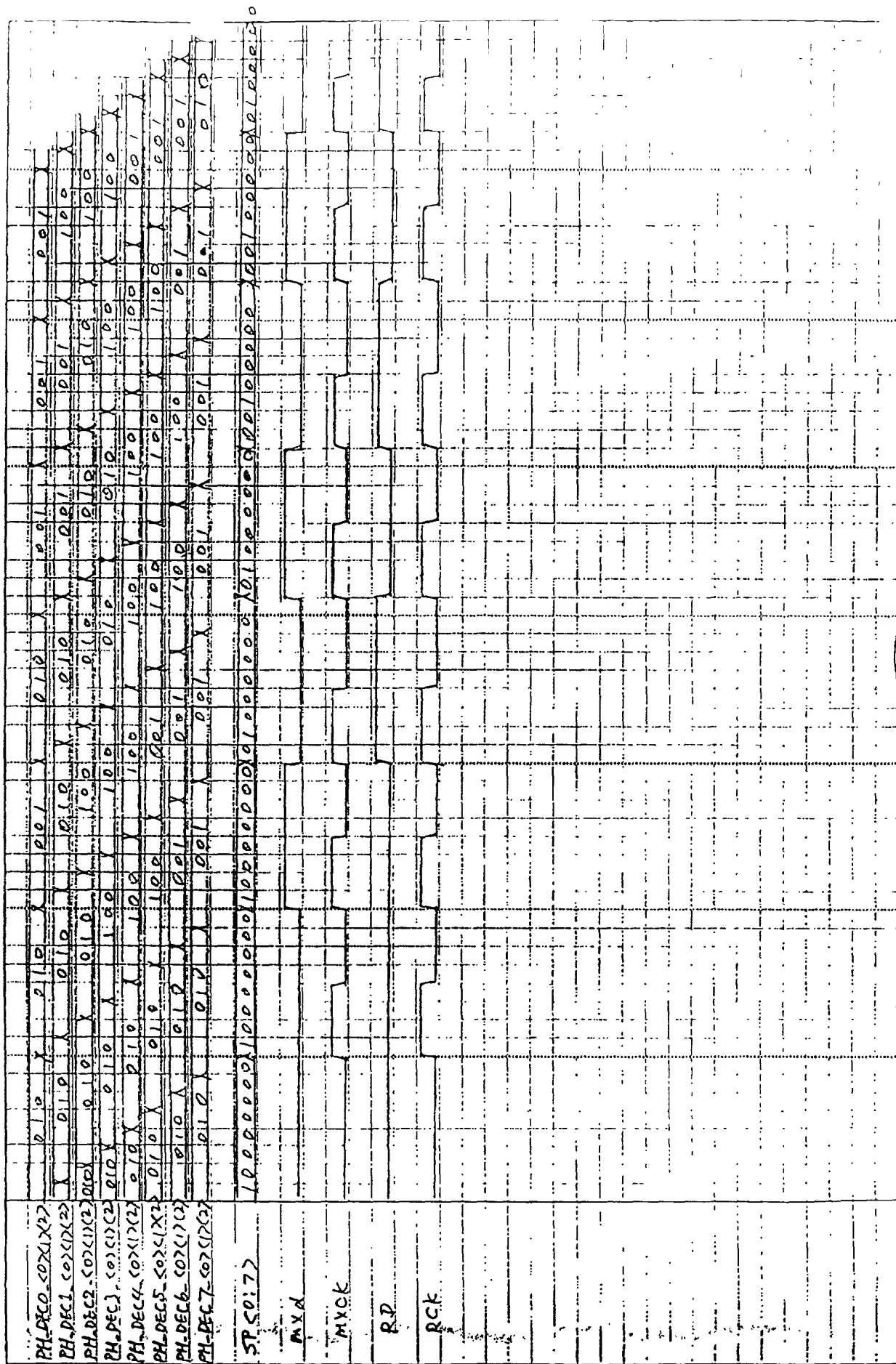
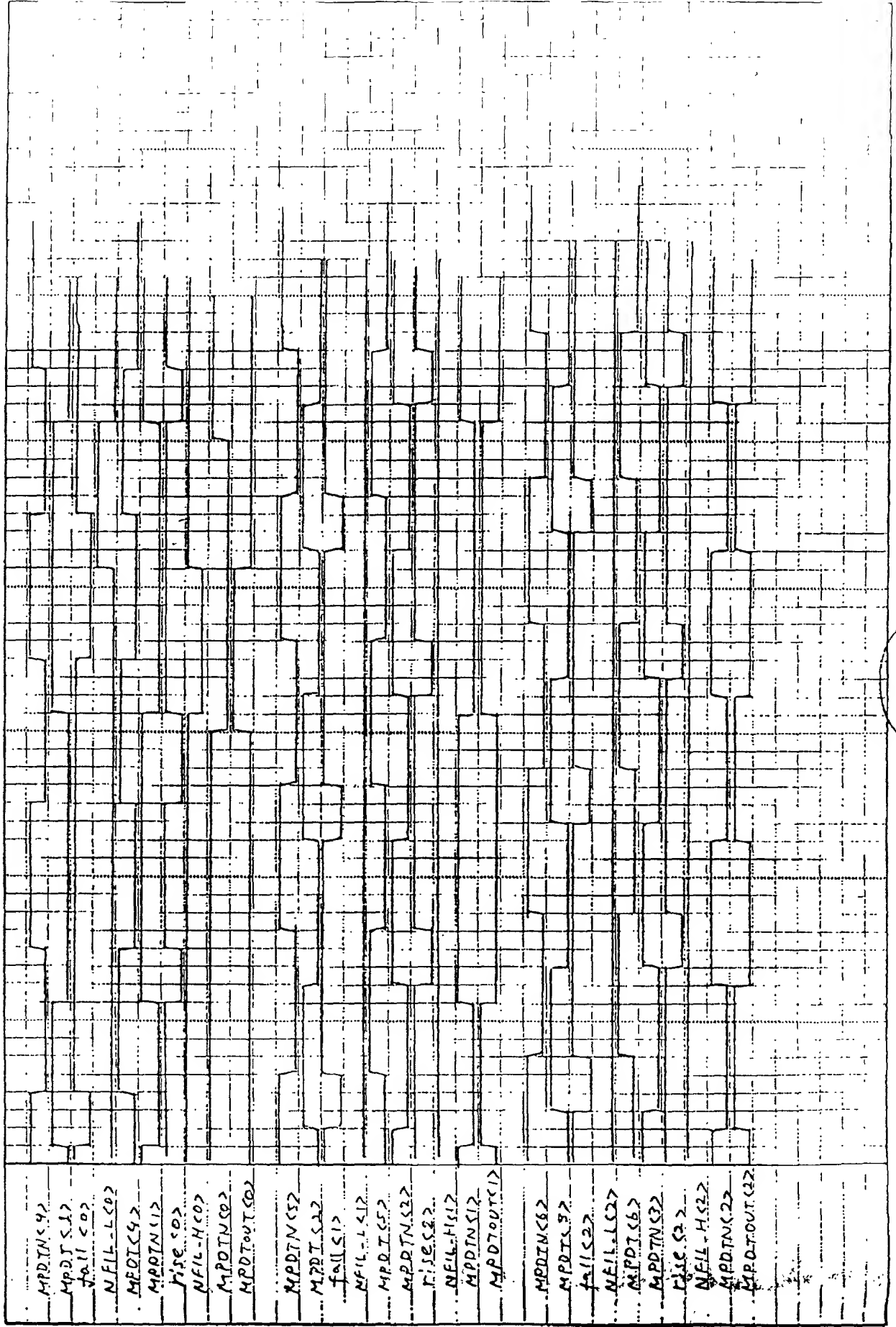


TABLE 20 - BEB 27660

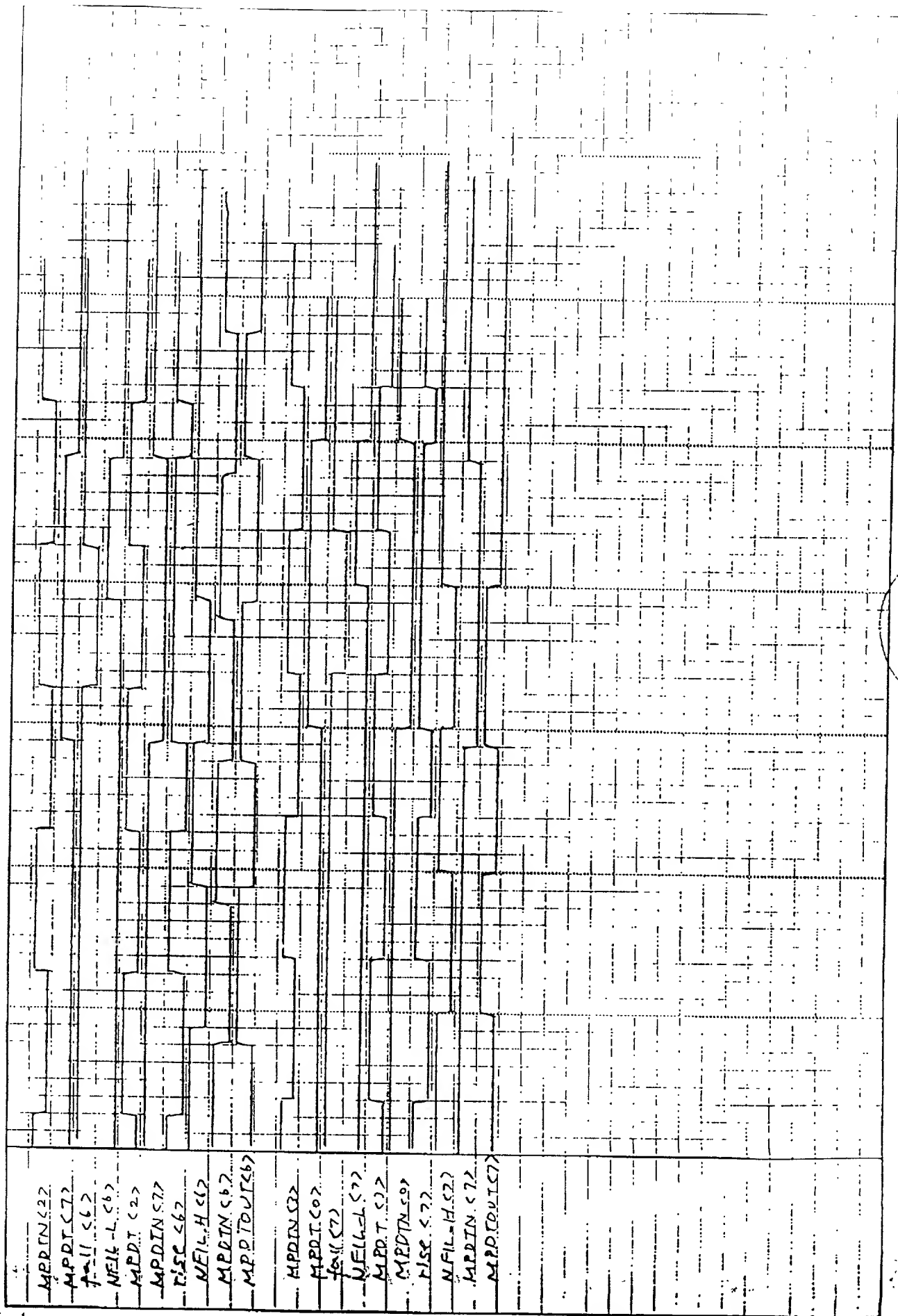
FLG 25 c

KOUSSYDPLMNP



TEOCO SECT 660

AL. 25e



KOUSSYDPLALN

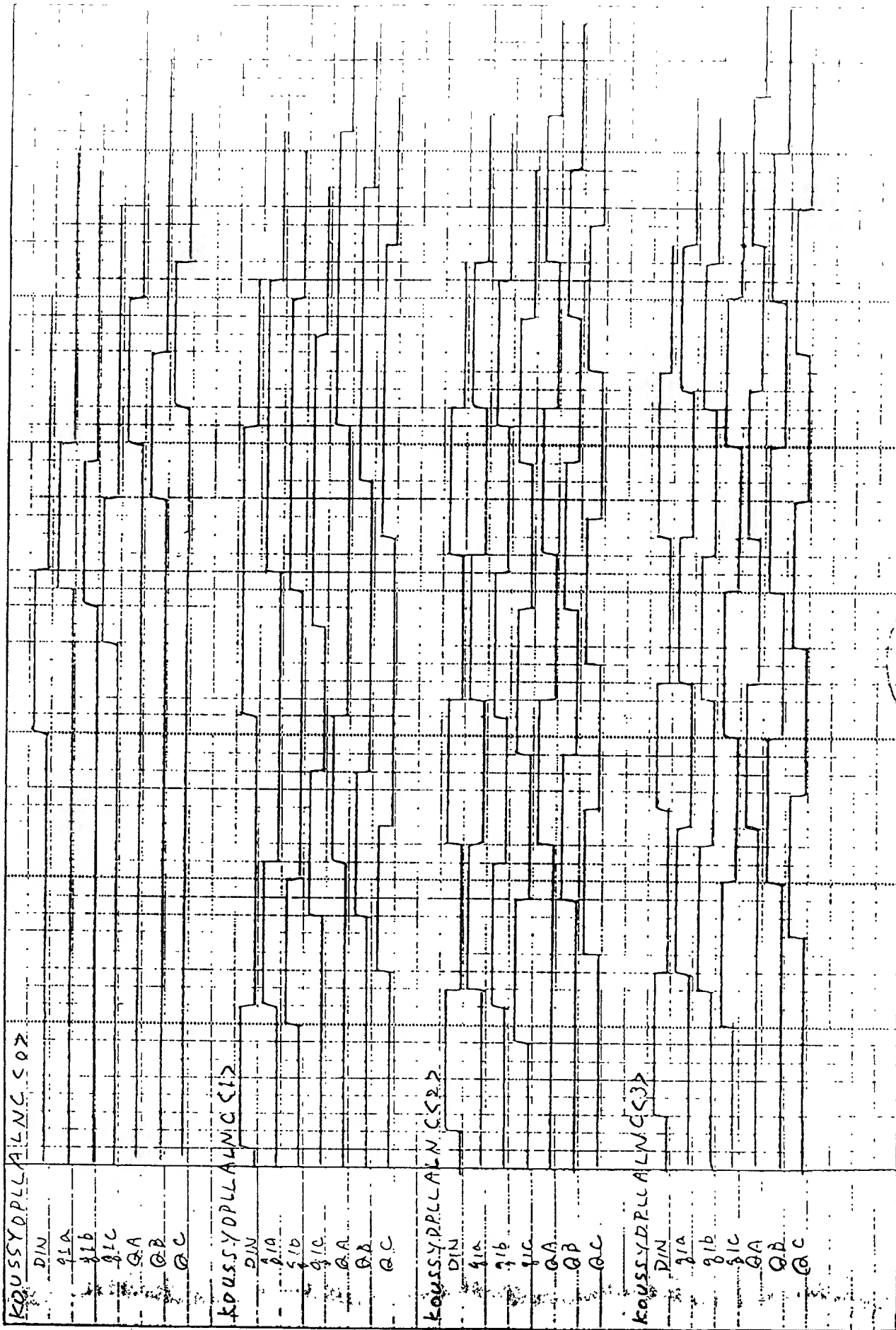
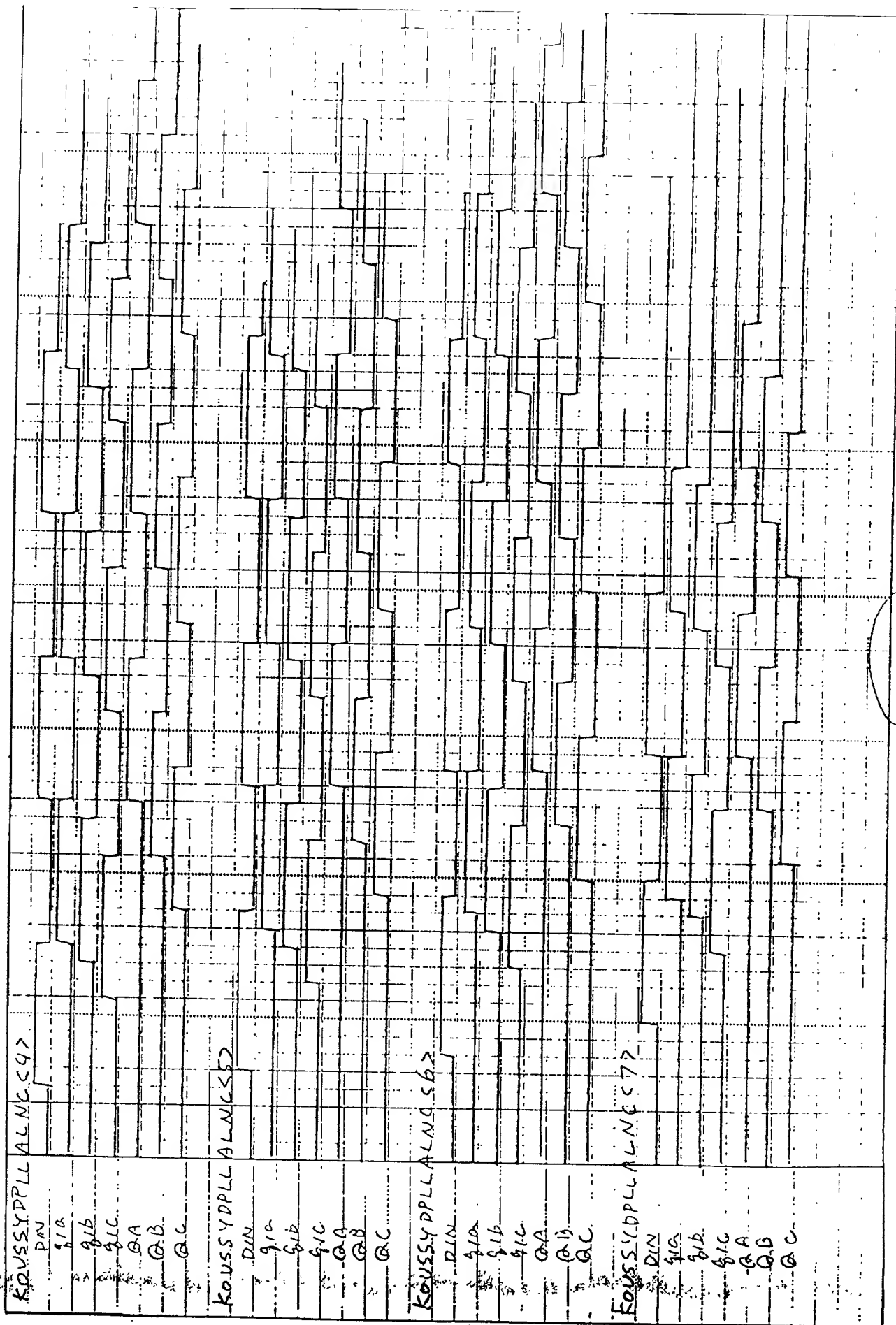


FIG. 25g



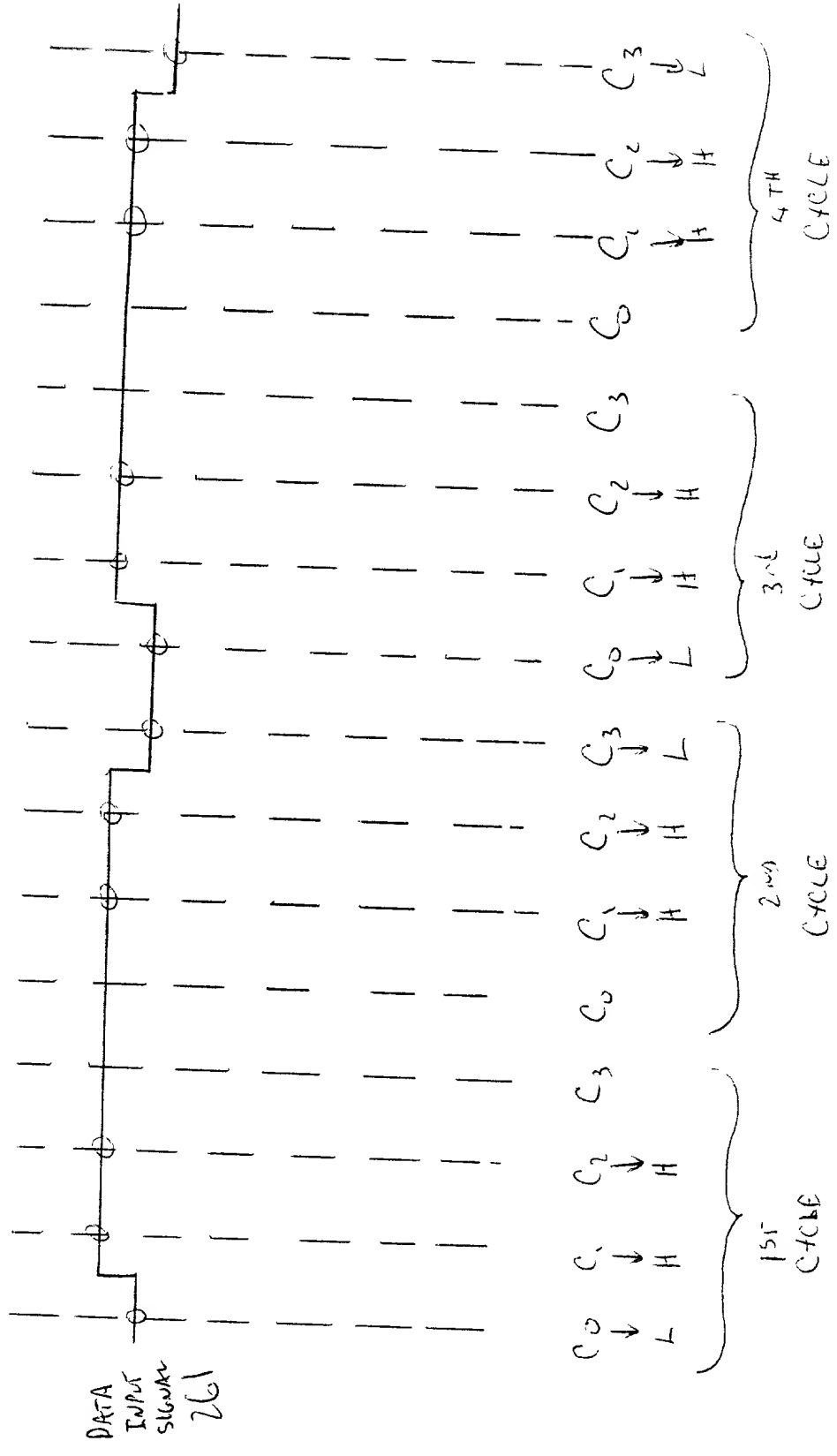


FIG. 26